

بررسی عملکرد کامپوزیت نانولوله کربنی / کیتوسان در جذب آفتکش دیازینون از پساب‌های کشاورزی

طاهره تقی‌زاده فیروزجایی^۱، ناصر مهردادی^۲، مجید بغدادی^۳، غلامرضا نبی بیدهندی^۴

مقاله پژوهشی

چکیده

مقدمه: امروزه آلودگی منابع آب به وسیله سوم آفتکش و وجود باقیمانده آن در زنجیره غذایی، یکی از معضلات زیست محیطی محسوب می‌گردد. بنابراین، حذف آفتکش‌ها در طی فرایند تصفیه آب، اهمیت فراوانی دارد. پژوهش حاضر با هدف بررسی جذب آفتکش دیازینون توسط جاذب نانولوله کربنی / کیتوسان (Chitosan/Carbon Nanotube) یا (CHN-CNT) انجام شد.

روش‌ها: جاذب CHN-CNT از روش پیوند بین زنجیره پلیمری (Cross linking methods) (CNT یا Carbon Nanotube) با نسبت‌های وزنی مختلف نانولوله کربنی (SEM یا Scanning electron microscopy) و کیتوسان به دست آمد. به منظور بررسی موفرلوژی و ساختار شیمیایی جاذب سنتز شده، از میکروسکوپ الکترونی رویشی (FTIR یا Fourier-transform infrared spectroscopy) استفاده گردید. همچنین، تأثیر شاخص‌های میزان غلظت جاذب، غلظت دیازینون و زمان تماس بر میزان جذب دیازینون روی CHN-CNT مورد بررسی قرار گرفت.

یافته‌ها: جاذب CHN-CNT تا حدود زیادی دیازینون را از محیط آبی حذف نمود؛ به طوری که ظرفیت جذب دیازینون (q_e) در غلظت ۵۰ میلی‌گرم بر لیتر دیازینون و غلظت ۰/۵ گرم بر لیتر جاذب و زمان ۶۵ دقیقه، به ۵۹ میلی‌گرم به گرم جاذب رسید. فرایند احیای جاذب با چهار چرخه متوالی انجام گرفت. درصد احیای جاذب در چرخه چهارم، ۹۴/۹ درصد به دست آمد.

نتیجه‌گیری: استفاده از جاذب CHN-CNT به دلیل ساخت آسان، کارایی بالا در جذب و قابلیت احیای مؤثر و آسان، می‌تواند به عنوان جاذب مناسبی در حذف آفتکش‌ها از منابع آبی آلوده مورد استفاده قرار گیرد.

واژه‌های کلیدی: آفتکش‌ها، دیازینون، کیتوسان، نانولوله کربنی، جذب

ارجاع: تقی‌زاده فیروزجایی طاهره، مهردادی ناصر، بغدادی مجید، نبی بیدهندی غلامرضا. بررسی عملکرد کامپوزیت نانولوله کربنی / کیتوسان در جذب آفتکش دیازینون از پساب‌های کشاورزی. مجله تحقیقات نظام سلامت ۱۳۹۶؛ ۱۳(۴): ۴۵۷-۴۶۳.

پذیرش مقاله: ۱۳۹۶/۱/۱۵

دریافت مقاله: ۱۳۹۵/۱۱/۳

مقدمه

دیازینون (Diazinon) از گروه آفتکش‌های ارگانوفسفره می‌باشد که به طور گسترده‌ای در کشاورزی جهت کنترل انواع مختلفی از حشرات مورد استفاده قرار می‌گیرد. به علت مقاوم به تجزیه بودن این سوم، استفاده از آن‌ها سبب ورود به محیط زیست و ماندگاری در آب‌های زیرزمینی و سطحی و خاک‌ها می‌شود (۱). روش‌های مختلفی جهت حذف آفتکش‌ها از محیط‌های آبی به کار گرفته شده است که شامل روش‌های بیولوژیکی، اکسیداسیون پیشرفته، انعقاد، فیلتراسیون و جذب می‌باشد. یکی از روش‌های پرکاربرد در تصفیه آب و فاضلاب، جذب سطحی است که به دلیل آسانی در راهبری، انعطاف‌پذیری و قابلیت حذف سوم، بسیار مورد توجه محققان قرار گرفته است (۲، ۳). از میان جاذب‌های مختلف، کیتوسان از جمله جاذب‌های کارامد و زیست تجزیه‌پذیر به شمار می‌رود که به دلیل داشتن مقدار بالای گروه‌های عاملی آمین و هیدروکسیل، توجه زیادی را به خود جلب نموده است (۴). تعدادی از محققان بر روی حذف برخی از

آفتکش‌های ارگانولکله با استفاده از کیتوسان مطالعه نموده‌اند (۵-۷). رحمانی‌فر و مرادی دهقی از کیتوسان به همراه نانوکسید نقره جهت حذف آفتکش‌های کلره استفاده نمودند. آن‌ها به این نتیجه رسیدند که ۰/۵ گرم از جاذب توانست ۱/۰ میلی‌گرم بر لیتر از آفتکش را در محلول ۲۵ میلی‌لیتر با راندمان ۹۹ درصد حذف نماید (۵). مرادی دهقی و همکاران پژوهشی را با هدف حذف آفتکش پرمترين با استفاده از کیتوسان به همراه نانوکسید روی انجام دادند و دریافتند که این جاذب به خوبی می‌تواند آفتکش پرمترين را از طریق واکنش الکترواستاتیکی و اندروالسی حذف نماید (۶). هرچند که کیتوسان کاربرهای فراوانی دارد، اما کیتوسان خام دارای ممکن خواص نامناسب مکانیکی، تقلیل طول شدید و تعییر شکل پس از خشک کردن است که استفاده از آن را در مقیاس تجاری به عنوان جاذب محدود می‌کند. بنابراین، یکی از روش‌های مؤثر جهت بهبود خواص مکانیکی کیتوسان، استفاده از نانولوله کربنی CNT یا Carbon Nanotube می‌باشد (۷، ۸).

- دانشجوی دکتری، گروه مهندسی محیط زیست، دانشکده محیط زیست، دانشگاه تهران، تهران، ایران
 - استاد، گروه مهندسی محیط زیست، دانشکده محیط زیست، دانشگاه تهران، تهران، ایران
 - استادیار، گروه مهندسی محیط زیست، دانشکده محیط زیست، دانشگاه تهران، تهران، ایران
- نویسنده مسؤول: طاهره تقی‌زاده فیروزجایی

Email: taghizade.eng@gmail.com

تعادلی دیازینون بر حسب میلی‌گرم بر لیتر، ۷ حجم محلول بر حسب لیتر و M جرم جاذب بر حسب گرم می‌باشد.

مراحل تهیه جاذب CHN-CNT

اکسید کردن CNT چند دیواره جهت ساخت کامپوزیت‌های پلیمری، اکسیداسیون سطح نانوکربنی سبب پخش بهتر آن در میان ذرات کیتوسان و به دنبال آن، افزایش خواص مکانیکی کامپوزیت خواهد شد. همچنین، برای از بین بردن ناخالصی‌های موجود در CNT خام (کاتالیست‌های فلزی، کربن آمورف و...) و افزایش ظرفیت جذب آن، از اکسیداسیون استفاده می‌شود^(۸). برای اکسید کردن، ابتدا ۴ گرم CNT چند لایه با ۱۵۰ میلی‌لیتر اسید نیتریک ۶۵ درصد مخلوط گردید و به مدت ۵ ساعت در دمای ۱۴۰ درجه سانتی‌گراد قرار گرفت. سپس محتویات با سرعت ۵۰۰۰ دور در دقیقه به مدت ۱۰ دقیقه در دستگاه سانتریفیوژ قرار داده شد. محتویات باقی‌مانده بعد از عمل سانتریفیوژ، چندین مرتبه با آب مقطر شستشو داده شد و به مدت ۷۲ ساعت در دمای ۳۰ درجه سانتی‌گراد خشک شد^(۱۰).

برای تهیه جاذب CHN-CNT که در آن نسبت وزنی CNT به کیتوسان ۲/۵ درصد می‌باشد، ابتدا ۶۰ میلی‌گرم از CNT در ۴۰ میلی‌لیتر آب مقطر مخلوط شد و به مدت ۹۰ دقیقه تحت امواج فراصوت و دمای ۳۵ درجه سانتی‌گراد اولتراسوند قرار گرفت. ۲/۵ گرم از کیتوسان به همراه ۱/۵ میلی‌لیتر اسید استیک ۲/۵ درصد در ۱۰۰ میلی‌لیتر آب مقطر حل گردید و به مدت ۲۴ ساعت بر روی همزن مغناطیسی قرار داده شد تا محتویات آن به خوبی مخلوط گردد. سپس محلول CNT در دو مرحله به محلول کیتوسان اضافه و به مدت ۱ ساعت در دمای ۳۵ درجه سانتی‌گراد اولتراسوند شد. محلول نهایی با استفاده از یک سرنگ با قطر ۰/۲ میلی‌متر برداشته شد و در یک محلول بافری H₂O/MeOH/NaOH) با نسبت‌های ۱:۱:۰ (وزنی) به ترتیب به میزان ۴۰ سی‌سی و ۵۰ سی‌سی و ۱۰ گرم با سرعت ۱ دور در دقیقه در دمای آتفا و به مدت ۲۴ ساعت و با چرخش پیوسته، عمل انقاد آن صورت گرفت. گرانول‌های به دست آمده چندین بار با آب مقطر شستشو داده شد و به مدت ۲۴ ساعت در محلول گلوتارآلدئید غوطه‌ور گردید. سپس به خوبی با آب مقطر شسته و در دمای محیط خشک شد. کراسلینک کردن نه تنها پایداری کیتوسان را در محلول‌های اسیدی افزایش می‌دهد، بلکه سبب بهبود خواص مکانیکی آن نیز می‌شود^(۱۱).

یافته‌ها

آزمون استقامت مکانیکی و تعیین نسبت بهینه کربن به کیتوسان: جهت تعیین نسبت بهینه کربن به کیتوسان، میزان جذب و مقاومت جاذب‌ها برای غلظت اولیه دیازینون و جاذب به ترتیب ۵ میلی‌گرم بر لیتر و ۰/۵ گرم بر لیتر و زمان ۶۰ دقیقه بررسی شد. نمونه‌ای از نحوه تعییرات طول گرانول نسبت به نیروی اعمال شده و شکست آن برای جاذب ۲/۵ درصد در شکل ۱ (قسمت الف) نشان داده شده است. میزان جذب و مقاومت جاذب‌ها نیز در قسمت ب شکل ۱ مشخص شده است. نتایج بررسی بر روی میزان جذب و استحکام جاذب CHN-CNT با نسبت‌های مختلف کربن به کیتوسان نشان داد که با افزایش میزان کربن، به ترتیب درصد حذف دیازینون کاهش و استحکام آن بیشتر می‌شود و این یافته بیانگر بیشتر بودن سهم کیتوسان در جذب دیازینون نسبت به CNT است (شکل ۱، قسمت ب).

مکانیکی، الکتریکی و گرمایی خوب، به عنوان تقویت کننده مناسبی برای کیتوسان جهت افزایش کاربردهای آن به شمار می‌رود. با توجه به این که کیتوسان جاذب مؤثر و ارزانی محسوب می‌شود، پس با افزایش استقامت مکانیکی جاذب به کمک CNT می‌توان از جاذب ترکیبی Chitosan/Carbon Nanotube (CHN-CNT) در فرایندهای تصفیه استفاده نمود؛ به طوری که جریان آب و فرایند احیا تحت فشارهای هیدرولیکی گسیخته نشود. در تحقیق حاضر، ابتدا جاذب CHN-CNT ستر شد و سپس میزان جذب دیازینون توسط این جاذب و همچنین، ارزیابی مقرر به صرفه بودن آن با استفاده از فرایند احیا بررسی گردید. جهت بررسی استقامت مکانیکی جاذب از دستگاه Universal testing machine (UTM)، برای تعیین مورفو‌لوزی و ساختار ذرات از میکروسکوپ الکترونی روشنی (SEM) و به منظور بررسی تعییرات شیمیایی ایجاد شده در ساختار نانوذرات نیز از طیف‌سنج مادون قرمز (FTIR) یا Fourier-transform infrared spectroscopy استفاده شد.

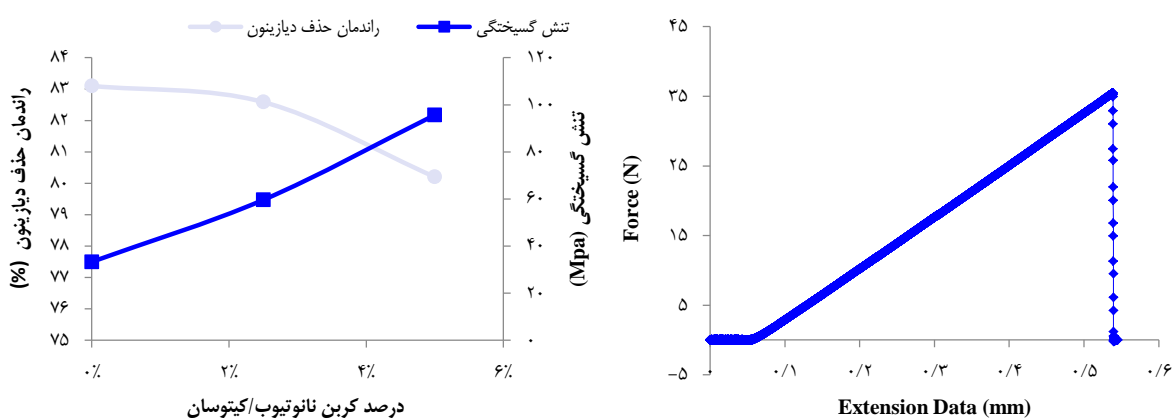
روش‌ها

مواد مورد استفاده شامل دیازینون (شرکت Sigma-Aldrich، آمریکا)، کیتوسان با وزن مولکولی متوسط (شرکت Sigma-Aldrich، آمریکا)، اسید استیک (شرکت Merck، آلمان)، اسید نیتریک ۶۵ درصد (شرکت Merck، آلمان)، استونیتریل (شرکت Merck، آلمان)، متابول (شرکت Merck، آلمان) و گلوتارآلدئید (Glutaraldehyde) (شرکت Merck، آلمان) بود. همچنین، CNT خام از شرکت نانوساو (ایران) تهیه شد که طول آن کمتر از ۱۰ میکرومتر، قطر خارجی آن بین ۱۰ تا ۳۰ نانومتر و میزان ناخالصی‌های آن (کربن آمورف...) کمتر از ۵ درصد بود. جهت تعیین میزان دیازینون باقی‌مانده، از دستگاه High-Performance Liquid Chromatography (HPLC) (مدل Agilent 1100 Series، آمریکا) و از ستون C۱۸ استفاده شد. سنجش دیازینون در طول موج ۲۴۸ نانومتر و با دبی ۱ میلی‌لیتر در دقیقه و در فاز متحرک استونیتریل و آب به نسبت ۶۵ به ۳۵ به انجام گرفت. آزمایش‌های اولیه نشان داد که راندمان حذف در محیط‌های اسیدی بیشتر می‌شود. با توجه به این که pH آب‌های طبیعی نزدیک به خشی می‌باشد؛ بنابراین، مقدار pH در تمام آزمایش‌ها ۵/۵ در نظر گرفته شد. جهت بررسی میزان حذف دیازینون توسط جاذب CHN-CNT، نرم‌افزار Design-Expert نسخه ۷ و روش‌شناسی رویه پاسخ (RSM) مورد استفاده قرار گرفت. در این روش‌شناسی نیز از طرح مرکب مرکزی Central Composite Design (CCD) برای طراحی آزمایش استفاده شد. شاخص‌های تأثیرگذار شامل مقدار ماده جذب شونده (۰-۵ گرم)، مقدار جاذب (۰/۶-۰/۰ گرم بر لیتر) و زمان (۱۰-۱۸۰ دقیقه) به عنوان مقادیر مستقل برای نرم‌افزار Design-Expert تعیین گردید. شاخص ظرفیت جذب (q_e) (بر حسب میلی‌گرم بر گرم) به منزله پاسخ از رویه دریافت شد که میزان آن از رابطه ۱ به دست می‌آید^(۹).

$$q_e = \frac{V(C_0 - C_e)}{M}$$

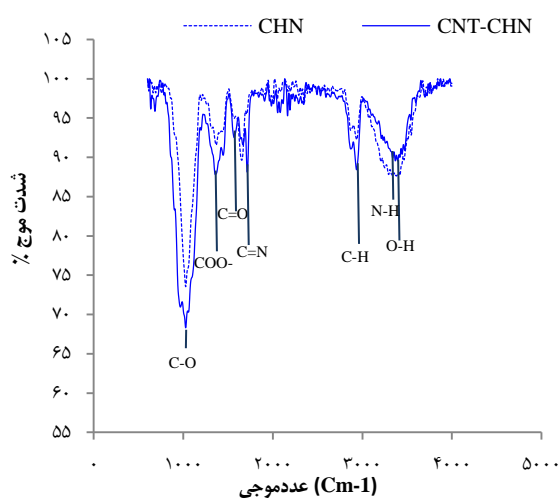
رابطه ۱

که در آن C₀ غلظت اولیه دیازینون بر حسب میلی‌گرم بر لیتر، C_e غلظت



شکل ۱. تغییرات طول گرانول نسبت به نیروی اعمال شده در جاذب (CHN-CNT) Chitosan/Carbon Nanotube (الف) با نسبت ۲/۵ درصد (ب) CHN-CNT در جاذب کیتوسان (ب)

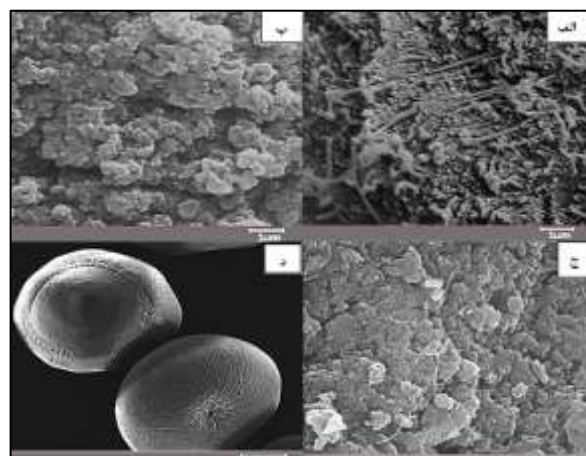
شکل ۳ طیف مادون قرمز کیتوسان خام و CHN-CNT را نشان می‌دهد. در آنالیز FTIR برای کیتوسان خام، عدد موجی ۳۵۴۵ و ۳۳۷۹ ۱۶۵۲ ۰-CH₂-C-H و C=O، عدد موجی ۲۹۳۶ N-H و O-H بر سانتی‌متر مریبوط به پیوندهای C=O برای پیوندهای C-H و C-N، عدد موجی ۱۰۳۵ گروههای COO- گروههای کربوکسیلیک و عدد موجی ۱۰۳۵ بر سانتی‌متر برای O-C-O گروه گلوکوزامین می‌باشد. دو پیک جدید در اثر واکنش کراسلینک کردن به وجود آمد که شامل C=O و C=N عدد موجی ۱۷۲۰ و ۱۵۸۷ بر سانتی‌متر بود و به ترتیب برای CHN-CNT همچنین، به دلیل وجود CNT اکسید شده در جاذب CHN-CNT، عدد موجی برای گروههای کربنی COO-, C-H و C-O شامل ۱۳۷۸، ۲۹۳۶ و ۱۰۳۵ بر سانتی‌متر بود که در طیف مادون قرمز CHN-CNT پیکهای قوی‌تری نسبت به کیتوسان خام داشت.



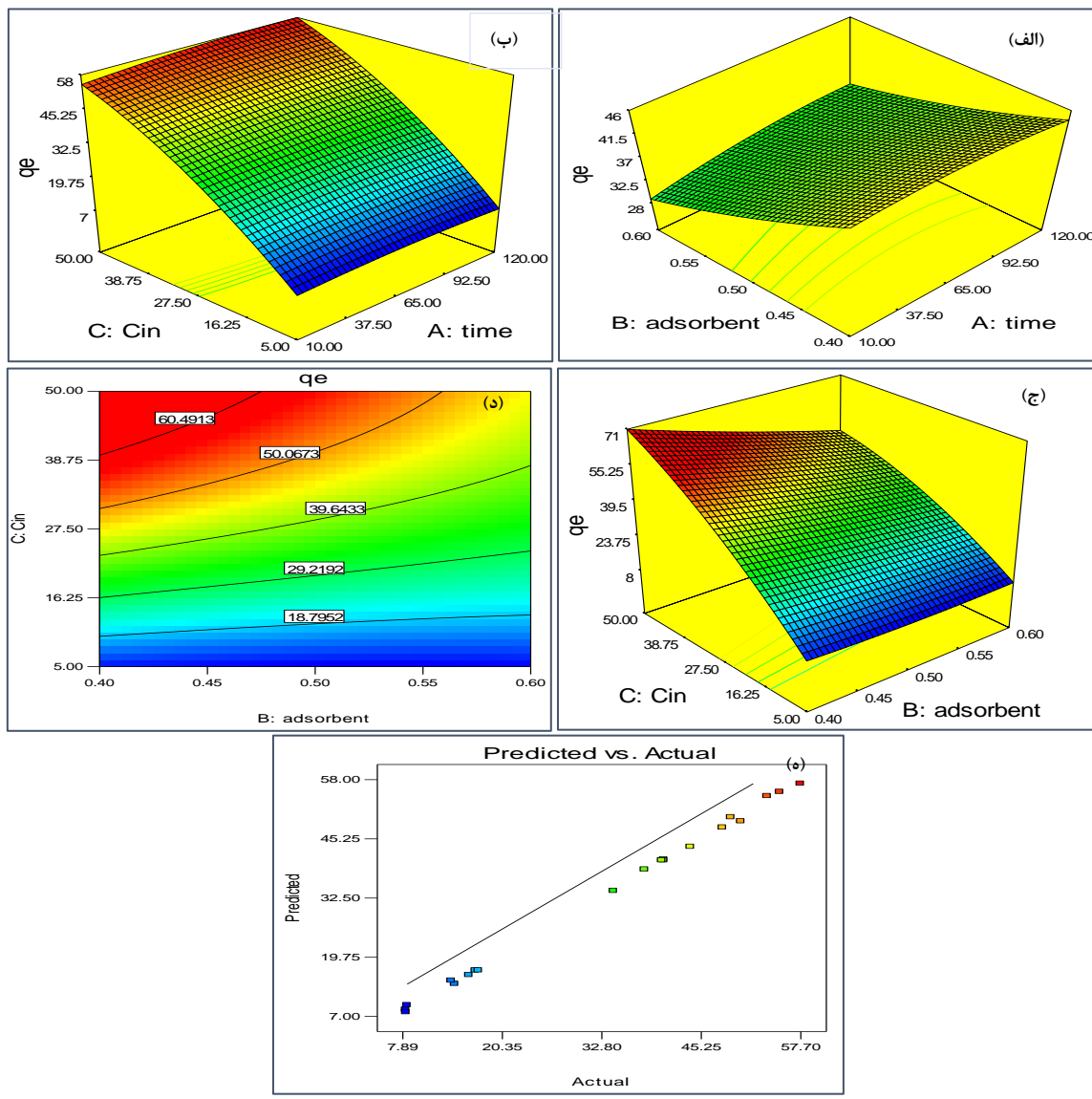
شکل ۳. طیف مادون قرمز کیتوسان خام و (CHN-CNT) Chitosan/Carbon Nanotube

هرچند میزان جذب کیتوسان خام و CHN-CNT با نسبت ۲/۵ درصد اختلاف ناچیزی با یکدیگر داشت، اما میزان استقامت فشاری CHN-CNT با نسبت ۲/۵ درصد بسیار بیشتر از کیتوسان خام می‌باشد. بنابراین، با توجه به نتایج آزمایش‌های جاذب بهینه CHN-CNT با نسبت ۲/۵ درصد، از این جاذب جهت انجام آزمایش‌های بعدی استفاده گردید.

تصاویر SEM تصاویر به دست آمده از سطوح نمونه‌های کیتوسان، CHN-CNT و CNT با استفاده از SEM در شکل ۲ نشان داده شده است. قسمت الف از شکل ۲ سطح کیتوسان را نشان می‌دهد که به صورت کاملاً یکنواخت و همگن می‌باشد. قسمت ب از شکل ۲ سطح CNT را نشان می‌دهد که رشته‌ها بر روی سطح آن نمایان است. شکل ۲، قسمت ج نیز سطح CHN-CNT را نشان می‌دهد که در آن پوشش غیر یکنواختی از CHN سطح رشته بر روی سطح کیتوسان مشاهده می‌شود. مورفولوژی سطح گرانولهای CHN-CNT نیز در قسمت د شکل ۲ مشاهده می‌گردد.



شکل ۲. تصاویر (SEM) Scanning electron microscopy کیتوسان خام (الف)، (CNT) Carbon Nanotube اکسید شده (ب)، (CHN-CNT) Chitosan/Carbon Nanotube (ج و د)



شکل ۴. بررسی اثر شاخص‌های مختلف بر ظرفیت جذب و مقایسه مقادیر پیش‌بینی شده و مقادیر واقعی

۵۰ میلی‌گرم و افزایش زمان تا حدود ۱۲۰ دقیقه، میزان ظرفیت جذب افزایش یافت. همچنین، میزان ظرفیت جذب از ۱۲۰ تا ۶۵ دقیقه تغییر چندانی را نشان نداد؛ به طوری که میزان ظرفیت جذب در غلظت ۵۰ میلی‌گرم بر لیتر دیازینون و زمان‌های ۶۵ تا ۱۲۰ دقیقه در دامنه ۵۹–۶۵ میلی‌گرم بر گرم بود. تأثیر شاخص‌های جاذب و غلظت جذب شونده در شکل ۴ (قسمت ج) نشان داده شده است. بر اساس شکل می‌توان گفت که ظرفیت جذب در غلظت‌های بالای دیازینون و غلظت‌های پایین جاذب، به حدکثر مقدار خود رسید. در غلظت‌های بالاتر دیازینون، نرخ کاهش ظرفیت جذب با افزایش غلظت جاذب بیشتر شد؛ چرا که در غلظت‌های بالاتر، برخورد مولکول‌ها با سطح جاذب بیشتر می‌شود و باید غلظت جاذب افزایش داده شود تا حذف به خوبی صورت گیرد. همچنین، شکل ۴ (قسمت د) خطوطی را نشان می‌دهد که نقاط بر روی خطوط دارای

بررسی میزان حذف دیازینون توسط جاذب (CHN-CNT)/Chitosan/Carbon Nanotube
اثر شاخص‌های غلظت جاذب (Adsorbent)، غلظت جذب شونده (Adsorbent) و زمان تماس (Time) به صورت دوگانه در فرایند جذب در شکل ۴ نشان داده شده است. اثر دو شاخص زمان و میزان جاذب بر روی ظرفیت جذب در شکل ۴ (قسمت الف) ارایه شده است. با توجه به شاخص غلظت جاذب، می‌توان نتیجه گرفت که در غلظت‌های پایین جاذب، از ظرفیت آن بیشتر استفاده شده است و با افزایش زمان نیز ظرفیت جذب به کندی افزایش یافت. همچنین، میزان افزایش ظرفیت جذب در میزان جاذب ۰/۰ تا ۰/۶ گرم بر لیتر به کندی صورت گرفت.
اثر شاخص‌های زمان و غلظت جذب شونده به صورت همزمان در شکل ۴ (قسمت ب) نشان داده شده است. بر این اساس، با افزایش غلظت دیازینون تا

جذب دیازینون کاهش می‌یابد، دیازینون به خوبی از سطح جاذب آزاد می‌شود. مقادیر pH احیا برابر با ۱۳ و مدت آن ۳۰ دقیقه در نظر گرفته شد. جدول ۲ میزان جذب پس از هر مرحله احیا و درصد احیا را برای غلظت اولیه ۵ میلی‌گرم بر لیتر نشان می‌دهد. مطابق با نتایج، ظرفیت جذب قبل از احیا ۸/۲۵ میلی‌گرم بر گرم بود و بعد از اولین مرحله احیا به ۸/۰۱ میلی‌گرم بر گرم و در مرحله چهارم احیا به ۷/۸۲ میلی‌گرم بر گرم رسید. کامل نشدن و اخذ دیازینون در هر مرحله احیا، منجر به کاهش میزان ظرفیت جذب دیازینون می‌شود (۱۰).

جدول ۲. میزان جذب و درصد احیا بعد از هر چرخه

چرخه	ظرفیت جذب دیازینون (میلی‌گرم بر گرم)	احیا (درصد)	بعد از احیا
	قبل از احیا		
۹۷/۲	۸/۰۱	۸/۲۵	۱
۹۵/۹	۷/۹۰	۸/۲۵	۲
۹۵/۴	۷/۸۷	۸/۲۵	۳
۹۴/۹	۷/۸۲	۸/۲۵	۴

بحث

نتایج حاصل از جذب دیازینون توسط جاذب CHN-CNT نشان می‌دهد که افزایش زمان تأثیر چندانی بر ظرفیت جذب ندارد؛ چرا که جاذب دارای ظرفیت جذب مشخص است و این ظرفیت جذب تابع تغییرات زمان نیست و به طور عمده میزان ماده جذب شونده است که بر آن تأثیر می‌گذارد. ظرفیت بالای جذب در غلظت‌های بیشتر حاکی از آن است که برخورد مولکول‌های جذب شونده در آن غلظت‌ها با سطح جاذب افزایش می‌یابد و همین امر منجر به افزایش ظرفیت جذب می‌گردد. همچنین، داده‌های به دست آمده از نرم‌افزار نشان داد که مدل مربعی به خوبی توانست با ضریب تعیین نزدیک به یک، داده‌ها را پیش‌بینی نماید. به دلیل نزدیک بودن مقادیر پیش‌بینی شده و پاسخ‌های دریافتی از مدل، می‌توان نتیجه گرفت که مدل برآنش و معادله به دست آمده از آن قابل قبول می‌باشد. در جدول ۳ نتایج تحقیقات گذشته که برای حذف دیازینون استفاده شده است، ارایه گردید. مطابق این جدول، جاذب‌های مختلفی برای حذف دیازینون استفاده می‌شود. نتایج نشان می‌دهد که جاذب CHN-CNT به خوبی دیازینون را حذف می‌کند؛ به طوری که می‌تواند میزان حذف بالا و نزدیک به جاذب کربن فعال گرانولی است، داشته باشد.

نتیجه‌گیری

در پژوهش حاضر، جذب آفت‌کش دیازینون توسط CHN-CNT مورد بررسی قرار گرفت. تأثیر شاخص‌های مختلف بر میزان حذف با استفاده از نرم‌افزار Design-Expert بررسی شد. مدل مربعی به عنوان مدل مناسبی جهت پیش‌بینی داده‌ها انتخاب گردید و معادله‌ای به دست آمد که شامل تأثیر هر کدام از شاخص‌ها می‌باشد. همچنین، مقادیر پیش‌بینی شده از مدل به مقادیر واقعی نزدیک بود؛ به طوری که با ضریب تعیین نزدیک به یک ($R^2 = ۰/۹۹۸$)، توانست داده‌ها را برآورد نماید. فرایند احیا توسط هیدروکسید سدیم ۰/۱ مولار انجام گرفت.

ظرفیت جذب یکسانی می‌باشند. همان‌گونه که مشاهده می‌شود، با افزایش غلظت دیازینون، شب خلط پیشتر گردید که بیان کننده برخوردهای بیشتر میان مولکول‌های دیازینون و جاذب بود. بر اساس داده‌های به دست آمده از نرم‌افزار، مدل مربعی به خوبی توانست با ضریب تعیین نزدیک به یک ($R^2 = ۰/۹۹۸$) داده‌ها را پیش‌بینی کند. شکل ۴ (قسمت ۵) مقادیر پیش‌بینی شده (Predicted) و واقعی (Actual) را بر اساس مدل توصیفی در RSM نشان می‌دهد که مطابق با آن، مقادیر پیش‌بینی شده یا پاسخ‌های دریافتی از مدل به مقادیر واقعی نزدیک است. تحلیل واریانس مدل (Q_e) در جدول ۱ ارایه شده است. در تحلیل واریانس نه تنها اثر مجزای عوامل، بلکه برهم‌کنش عوامل نیز بررسی می‌شود که در آن اگر مقدار عددی P برای آن عامل کمتر از ۰/۰۵ باشد، به این معنی است که آن عامل مؤثر می‌باشد. مطابق جدول ۱، هر سه شاخص به صورت مجزا بر میزان حذف دیازینون مؤثر بود. در مجموع، با توجه به این که تأثیر عوامل مختلف بر حذف دیازینون مهم است (Model) (Significant) و عدم برآنش مهم نیست (Not significant)، پس می‌توان اذعان نمود که مدل بر داده‌ها منطبق می‌باشد.

جدول ۱. تحلیل واریانس مدل

متبع	P(Prob > F)	مهم است
Model	< ۰/۰۰۱	
A-time	۰/۰۱۹۷	
B-adsorbent	< ۰/۰۰۱	
C-C _{in}	< ۰/۰۰۱	
AB	۰/۲۵۴۳	
AC	۰/۳۷۷۶	
BC	< ۰/۰۰۱	
A ^۲	۰/۱۱۹۸	
B ^۲	۰/۱۳۰۰	
C ^۲	< ۰/۰۰۱	
عدم برآنش	۰/۱۵۷۰	مهم نیست

ظرفیت جذب (q_e) بر اساس شاخص‌های مستقل، ترکیب آن‌ها و توان دوم هر متغیر از رابطه ۲ به دست می‌آید. در این رابطه، غلظت دیازینون بر حسب میلی‌گرم بر لیتر، غلظت جاذب بر حسب گرم بر لیتر، زمان بر حسب دقیقه و ظرفیت جذب بر حسب میلی‌گرم بر گرم می‌باشد.

$$q_e = 26.42 - 0.078 \times \text{time} - 100.97 \times \text{adsorbent} + 2.96 \times C_{in} + 0.25 \times \text{time} \times \text{adsorbent} + 2.68415 \times \text{adsorbent} \times C_{in} - 4.87 \times 10^{-4} \times \text{time} \times C_{in} \\ 3.29 \times 10^{-4} \times \text{time}^2 + 91.47 \times \text{adsorbent}^2 - 0.01 \times C_{in}^2$$

احیای نانوچاذب: در مطالعه حاضر، فرایند احیا با استفاده از هیدروکسید سدیم ۰/۱ مولار انجام گرفت. در محیط‌های قلیایی به دلیل این که گروه آمینی بروتون نمی‌گیرد و نیتروی الکترواستاتیکی میان دیازینون و جاذب و همچنین،

جدول ۳. مقایسه جاذب‌های مورد استفاده برای حذف دیازینون

جاذب	میزان حذف	منابع
سه جاذب GAC و ماسه زرد (لس)	بیشترین میزان حذف برای جاذب GAC بود که راندمان حذف دیازینون برای غلظت اولیه ۱۰-۱۰۰ میلیگرم بر لیتر و میزان جاذب ۱ گرم بر لیتر، ۷۵-۸۵ درصد به دست آمد.	۱
حذف دیازینون با استفاده از جاذب کربن فعال عاملدار شده با NH_4Cl	راندمان حذف دیازینون در غلظت ۲۰ میلیگرم بر لیتر دیازینون به ازای ۰/۰ گرم بر لیتر جاذب و زمان ۳۵ دقیقه، ۹۶/۴ درصد به دست آمد.	۹
حک بتونیت (Bentonite)/کیتوسان	میزان ظرفیت جذب برای غلظت اولیه دیازینون ۲۵ میلیگرم بر لیتر، ۰/۲۸۲ میلیگرم دیازینون به ازای هر گرم از جاذب به دست آمد.	۱۲
جادب ثانویی اکسید آلومینیوم	راندمان حذف دیازینون در غلظت ۲۸۰ میلیگرم بر لیتر دیازینون به ازای ۵ گرم بر لیتر جاذب و زمان ۵ دقیقه، ۹۰ درصد به دست آمد.	۱۳
CHN-CNT	راندمان حذف دیازینون برای غلظت اولیه دیازینون ۵-۵۰ میلیگرم بر لیتر و جاذب مطالعه حاضر ۰/۵ گرم بر لیتر، ۵۶-۸۳ درصد به دست آمد.	مطالعه حاضر

GAC :Granular Activated Carbon; PAC: Powdered activated carbon; CHN-CNT: Chitosan/Carbon Nanotube

تشکر و قدردانی

مطالعه حاضر برگرفته از پایان نامه مقطع دکتری مهندسی محیط زیست، مصوب دانشگاه تهران می باشد. بدین وسیله نویسندها از مسؤولان آزمایشگاه دانشکده محیط زیست دانشگاه تهران که در انجام این تحقیق همکاری نمودند، تشکر و قدردانی به عمل می آورند.

جادب CHN-CNT در محیط قلیایی با درصد بالایی احیا گردید. بنابراین، می توان نتیجه گرفت که جاذب علاوه بر این که از نظر اقتصادی مقرن به صرفه می باشد، جذب و استقامت مکانیکی بالایی دارد. بنابراین، پیشنهاد می شود حذف سایر سموم نیز توسط این جاذب بررسی گردد.

References

- Ryoo KS, Jung SY, Sim H, Choi J. Comparative study on adsorptive characteristics of diazinon in water by various adsorbents. Bull Korean Chem Soc 2013; 34(3): 2753-59.
- Moazeni M, Ebrahimi A, Rafiee N, Pourzamani HR. Removal of arsenic (iii) and chromium (vi) from aqueous solutions using nanoscale zerovalent iron (NZVI) particles and determining adsorption isotherms. J Health Syst Res 2017; 13(1): 126-33. [In Persian].
- Khorsandi H, Karimzadeh S, Saed-Moucheshi A. Kinetic simulation of hexavalent chromium adsorption on granular activated carbon columns from continuous flow of water. J Health Syst Res 2017; 13(2): 164-9. [In Persian].
- Moradi Dehaghi S, Rahmanifar B, Moradi AM, Azar PA. Removal of permethrin pesticide from water by chitosanozinc oxide nanoparticles composite as an adsorbent. J Saudi Chem Soc 2014; 18(4): 348-55.
- Rahmanifar B, Moradi Dehaghi S. Removal of organochlorine pesticides by chitosan loaded with silver oxide nanoparticles from water. Clean Technol Environ Policy 2014; 16(8): 1781-86.
- Yoshizuka K, Lou Z, Inoue K. Silver-complexed chitosan microparticles for pesticide removal. React Funct Polym 2000; 44(1): 47-54.
- Lu LC, Wang CI, Sye WF. Applications of chitosan beads and porous crab shell powder for the removal of 17 organochlorine pesticides (OCPs) in water solution. Carbohydr Polym 2011; 83(4): 1984-9.
- Wang SF, Shen L, Zhang WD, Tong YJ. Preparation and mechanical properties of chitosan/carbon nanotubes composites. Biomacromolecules 2005; 6(6): 3067-72.
- Moussavi G, Hosseini H, Alahabadi A. The investigation of diazinon pesticide removal from contaminated water by adsorption onto NH_4Cl -induced activated carbon. Chem Eng J 2013; 214(Supplement C): 172-9.
- Skandari S, Torabian A, Nabi Bidhendi G, Baghdadi M, Aminzadeh B. Preparation of engineered carbon nanotube materials and its application in water treatment for removal of hydrophobic natural organic matter (NOM). Desalin Water Treat 2016; 57(52): 24855-66.
- Shawky HA, El-Aassar AH, Abo-Zeid DE. Chitosan/carbon nanotube composite beads: Preparation, characterization, and cost evaluation for mercury removal from wastewater of some industrial cities in Egypt. J Appl Polym Sci 2012; 125(S1): E93-E101.
- Permanasari A, Zackiyah WS. Chitosan-bentonite: the save adsorbent for pesticides residues in drinking water. 2009. Proceedings of the Seminar Kimia Bersama UKM-ITB VIII; 2009 June 9-11; Selangor, Malaysia.
- Armaghan M, Amini MM. Adsorption of diazinon and fenitrothion on nanocrystalline alumina from non-polar solvent. Colloid J 2012; 74(4): 427-33.

An Investigation on Performance of Chitosan/Carbon Nanotube Composite for Adsorption of Diazinon from Agricultural Wastewater

Tahere Taghizadeh-Firozjaee¹, Naser Mehrdadi², Majid Baghdadi³, Gholamreza Nabi-Bidhendi²

Original Article

Abstract

Background: In recent years, water pollution and pesticide residues in food chain have become a serious environmental problem. Therefore, it is essential to remove pesticides in water treatment. In this study, adsorption of diazinon by chitosan/carbon nanotube (CHN-CNT) adsorbent was investigated.

Methods: A protected crosslinking method was used to synthesize CHN-CNT with various ratios of carbon nanotube to chitosan. Scanning electron microscopy (SEM) and Fourier-transform infrared spectroscopy (FTIR) were used to investigate morphological changes and chemical structure of the prepared adsorbent. Tests were done to evaluate the effects of adsorbent concentration, diazinon concentration, and contact time on adsorption of diazinon by CHN-CNT.

Findings: CHN-CNT removed diazinon from aqueous solution to a great extent. By an initial diazinon concentration of 50 mg/l, CHN-CNT concentration of 0.5 g/l, and contact time of 65 minutes, the adsorption capacity (q_e) reached to 59 mg/g adsorbent. Regeneration process of the adsorbent was performed with four cycles. The efficiency recovery was obtained as 94.9% in fourth cycle.

Conclusion: CHN-CNT, due to being easier to prepare, high performance in adsorption, and simple and effective regeneration capacity, could be an appropriate adsorbent to eliminate the pesticide from contaminated water source.

Keywords: Pesticides, Diazinon, Chitosan, Carbon nanotube, Adsorption

Citation: Taghizadeh-Firozjaee T, Mehrdadi N, Baghdadi M, Nabi-Bidhendi G. An Investigation on Performance of Chitosan/Carbon Nanotube Composite for Adsorption of Diazinon from Agricultural Wastewater. J Health Syst Res 2018; 13(4): 457-63.

1- PhD Candidate, Department of Environmental Engineering, School of Environment, University of Tehran, Tehran, Iran

2- Professor, Department of Environmental Engineering, School of Environment, University of Tehran, Tehran, Iran

3- Assistant Professor, Department of Environmental Engineering, School of Environment, University of Tehran, Tehran, Iran

Corresponding Author: Tahere Taghizade-Firozjaee, Email: taghizade.eng@gmail.com